

ЯМР ^{141}Pr В "ЭЛЕКТРОННОМ СВЕРХПРОВОДНИКЕ" $\text{Pr}_{1,85}\text{Ce}_{0,15}\text{CuO}_4-y$

O. Н. Бахарев, A. B. Егоров, P. Ш. Жданов, M. C. Тагиров, M. A. Теплов

Методом спинового эхо обнаружен и изучен ЯМР ^{141}Pr в частично-ориентированном порошке ван-флековского парамагнетика $\text{Pr}_{1,85}\text{Ce}_{0,15}\text{CuO}_4-y$ при гелиевых температурах. Найдены параметры ядерного спинового гамильтонiana и оценен энергетический интервал между основным (Γ_3) и возбужденным (Γ_4) синглетными состояниями иона Pr^{3+} в кристаллическом электрическом поле: $E(\Gamma_4) - E(\Gamma_3) = (815 \pm 90) \text{ см}^{-1}$. Измеренная на частоте 23 МГц скорость спин-решеточной релаксации ядер ^{141}Pr не зависит от температуры в диапазоне 1,5–4,2 К и составляет приблизительно 600 с^{-1} .

Согласно имеющимся данным о магнитной восприимчивости кристалла Pr_2CuO_4 ¹, нижний уровень энергии иона Pr^{3+} ($4f^2$, 3H_4 , $J = 4$) в кристаллическом электрическом поле (КЭП) должен быть невырожденным. Известно, что в таких случаях метод ЯМР редкоземельных ионов может дать полезную информацию о потенциале КЭП в ван-флековских парамагнетиках^{2–4}. В настоящей работе описаны результаты первых экспериментов по ЯМР ^{141}Pr ($I = 5/2$) в $\text{Pr}_{1,85}\text{Ce}_{0,15}\text{CuO}_4-y$ при температурах 1,5–4,2 К, изучены спектры и ядерная релаксация на частотах от 10 до 23 МГц в полях до 20 кЭ. Эксперименты были проведены с образцом частично-ориентированного порошка, в котором ранее был исследован ЯМР меди⁵.

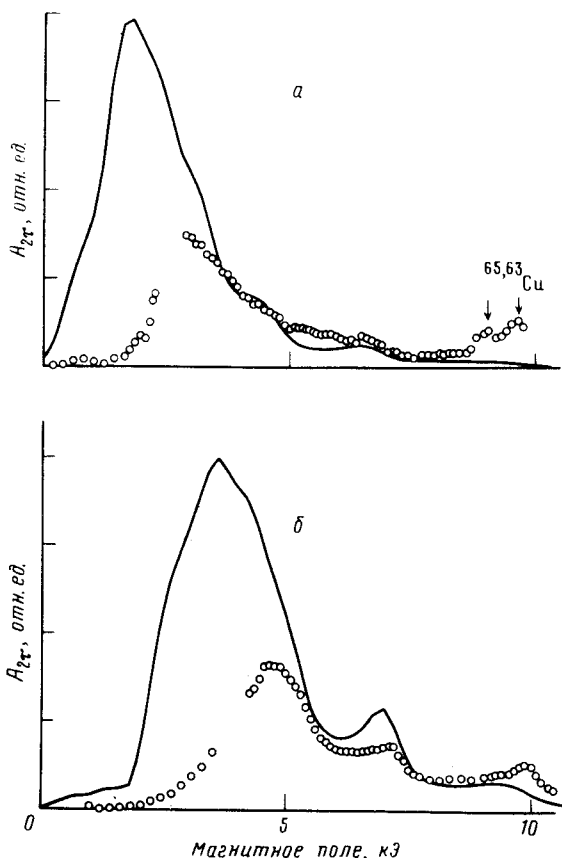


Рис. 1. Амплитуда спинового эха ядер ^{141}Pr как функция магнитного поля при температуре 1,5 К; \odot – эксперимент, a – $\nu = 10,7$ МГц, длительности зондирующих импульсов $\tau_1 = 1$ мкс, $\tau_2 = 2$ мкс, интервал $\tau = 15$ мкс, b – $\nu = 16,25$ МГц, $\tau_1 = 1,2$ мкс, $\tau_2 = 2,4$ мкс, $\tau = 11$ мкс. Поле H параллельно направлению c' преимущественной ориентации кристаллических осей с частиц порошка. Экспериментальные точки отсутствуют в области ЯМР протонов парафина. Сплошные линии – расчетные спектры ЯМР с параметрами (4), (5), форма индивидуальной линии ЯМР кристаллита предполагается гауссовой, ширина линии на полувысоте $\Delta H = 330$ Э

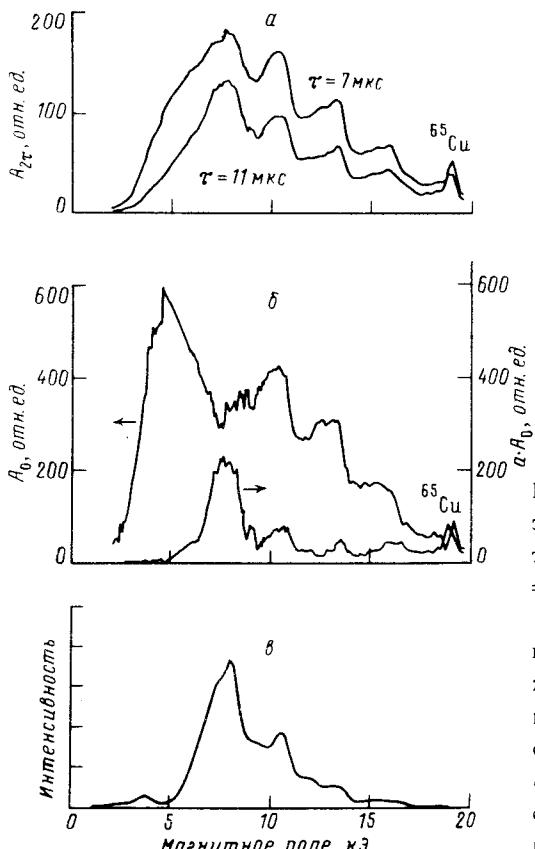


Рис. 2. Полевые зависимости амплитуды спинового эха (*а, б*) и расчетный спектр ЯМР ^{141}Pr на частоте 23 МГц: *а* – $H \parallel c'$, $T = 1,6$ К, $\tau_1 = 1,1$ мкс, $\tau_2 = 2,2$ мкс, $\tau = 7$ мкс (верхняя кривая) и $\tau = 11$ мкс (нижняя кривая); *б* – восстановленные по экспериментальным данным функция $A_0(H)$, приближенно описывающая полный спектр ЯМР и функция $a(H) \times A_0(H)$ – составляющая этого спектра с характеристическим временем $T_2'' = 33,5$ мкс; *в* – расчетный спектр ЯМР ^{141}Pr частиц порошка с углами $\theta \leq 40^\circ$, расчет произведен с параметрами (4), (5); форма индивидуальной линии ЯМР кристалла предполагается гауссовой, ширина линии на полувысоте $\Delta H = 330$ Э

На рис. 1 показаны два спектра, полученные на частотах 10,7 МГц и 16,25 МГц путем измерения амплитуды спинового эха при фиксированных значениях внешнего поля, а на рис. 2*а* изображены такие же спектры на частоте 23 МГц, снятые при двух значениях интервала τ между зондирующими $\pi/2$ - и π -импульсами. Сопоставляя две последние кривые, мы приходим к заключению, что спад амплитуды эха не описывается простым законом $A_{2\tau} \sim \exp(-2\tau/T_2)$. Это выглядит вполне естественно, поскольку мы имеем дело с системой неэквидистантных уровней энергии спина $I = 5/2$. Детальное исследование спин-спиновой релаксации ядер пра-зеодима на частоте 23 МГц (выборочные данные см. в таблице) показало, что эта релаксация подчиняется соотношению

$$A_{2\tau}/A_0 = (1 - a) \exp(-2\tau/T_2') + a \exp(-2\tau/T_2''), \quad (1)$$

в котором величины $A_{2\tau}$, A_0 , a и T_2' зависят от внешнего поля H . В частности, в полях выше 6,5 кЭ релаксация характеризуется двумя приблизительно постоянными параметрами T_2' и T_2'' , их усредненные величины (по 11-ти значениям поля H) равны, соответственно, 12,3 и 33,5 мкс. В полях $H \leq 6$ кЭ из-за малой интенсивности эха не удается выделить две экспоненты, однако с уменьшением H явно обнаруживается тенденция к уменьшению параметра a до нуля и уменьшению времени T_2' . Не обсуждая пока причин полевой зависимости $T_2'(H)$, можно задать величины T_2' и T_2'' эмпирически, и с помощью двух кривых на рис. 2, *а* и соотношения (1) построить полевую зависимость величины A_0 – амплитуды спинового эха, восстановленной к нулевому значению интервала τ . При правильном построении функция $A_0(H)$ становленной к нулевому значению интервала τ . При правильном построении функция $A_0(H)$

должна точно воспроизводить форму спектра ЯМР, при эмпирическом же задании величин T_2' и T_2'' мы можем рассчитывать лишь на качественное описание интенсивностей различных фрагментов спектра. Итак, положим для частоты ЯМР $\nu = 23$ МГц время $T_2'' = 33,5$ мкс одинаковым при всех значениях H , а время T_2' – меняющимся по закону:

$$T_2'(\text{мкс}) = \begin{cases} 6, & \text{при } H < 3 \text{ кЭ}, \\ 6 + 6,3 (H - 3 \text{ кЭ}) / 3,5 \text{ кЭ}, & \text{при } 3 \text{ кЭ} \leq H \leq 6,5 \text{ кЭ}, \\ 12,3, & \text{при } H > 6,5 \text{ кЭ} \end{cases} \quad (2)$$

(минимальную величину $T_2' = 6$ мкс мы смогли зарегистрировать на частоте 10,7 МГц в полях ниже 1,5 кЭ) и восстановим функцию $A_0(H)$ (верхняя кривая на рис. 2, б). Как видно, характерной особенностью истинного спектра ЯМР ^{141}Pr в порошке $\text{Pr}_{1,85}\text{Ce}_{0,15}^{\theta}\text{CuO}_4-y$ должно быть наличие в слабых полях интенсивной линии (группы линий) с малыми характеристическими временами T_2 .

Для дальнейшего анализа сделаем два предположения. 1) Спектр ЯМР ^{141}Pr в кристалле с осевой симметрией должен описываться спиновым гамильтонианом вида²

$$\mathcal{H} = -\gamma_{\parallel} \hbar H_z I_z - \gamma_{\perp} \hbar (H_x I_x + H_y I_y) + D [I_z^2 - \frac{1}{3} I(I+1)], \quad (3)$$

где $\gamma_{\parallel} = \gamma(1 + \alpha_{\parallel})$, $\gamma_{\perp} = \gamma(1 + \alpha_{\perp})$, $\gamma/\pi = +1,26$ МГц/кЭ – гиромагнитное отношение ядер празеодима³, α_{\parallel} и α_{\perp} – компоненты тензора парамагнитного сдвига ЯМР во внешнем поле \mathbf{H} , направленном параллельно и перпендикулярно оси c кристалла. Поскольку величины α_i обычно пропорциональны соответствующим компонентам χ_i тензора парамагнитной восприимчивости⁴, и поскольку $\chi_{\parallel} < \chi_{\perp}$ в Pr_2CuO_4 ¹, положим $\gamma_{\parallel} < \gamma_{\perp}$, и группу линий в полях выше 6,5 кЭ отнесем к тем частицам порошка, у которых кристаллические оси c составляют с полем \mathbf{H} не слишком большие углы (скажем, $\theta \leq 40^\circ$). 2) Опираясь на известные данные⁴ об анизотропности времени спин-спиновой релаксации ядер редкоземельных ионов в ван-флековских парамагнетиках, а также на наши измерения, показывающие, что относительный вес (*a*) медленного процесса релаксации ядер ^{141}Pr в полях $H < 6,5$ кЭ падает до нуля, допустим, что в рассматриваемой нами системе $T_2(\theta = 90^\circ) < T_2(\theta = 0)$, и припишем частицам порошка с углами $\theta \leq 40^\circ$ наибольшее из наблюдаемых времени релаксации $T_2 = T_2''$. Выделенная из экспериментальных данных (рис. 2, *a*) составляющая спектра с характеристическим временем $T_2'' = 33,5$ мкс представлена нижней кривой на рис. 2, б. Она неплохо согласуется (ср. рис. 2, *b*) с результатами расчета спектра порошка, содержащего кристаллиты с углами $\theta \leq 40^\circ$, при следующих значениях параметров спинового гамильтониана:

$$\gamma_{\parallel}/2\pi = (1,66 \pm 0,05) \text{ МГц/кЭ}, \quad D/\hbar = (2,4 \pm 0,2) \text{ МГц}. \quad (4)$$

Третий параметр гамильтониана (3).

$$\gamma_{\perp}/2\pi = (5,1 \pm 0,5) \text{ МГц/кЭ}, \quad (5)$$

мы находим из положения максимума (рис. 2, б) слабополевой линии спектра, полагая, что этот максимум соответствует переходу $|1/2\rangle \leftrightarrow |-1/2\rangle$ для тех частиц порошка, у которых кристаллические оси c составляют с полем \mathbf{H} углы $\theta > 40^\circ$. Заметим, что правильность найденных нами из экспериментов на частоте 23 МГц параметров гамильтониана (4) подтверждается измерениями на других частотах (см. рис. 1).

Далее, имея в виду, что основным состоянием иона Pr^{3+} в кристаллическом поле PrCeCuO симметрии $D_{4h}(C_{4v})$ должен быть синглет $|\Gamma_3\rangle = (1/\sqrt{2})(|2\rangle + |-2\rangle)^{-1}$,⁶ и зная, что ве-

личина параметра $\alpha_1 = (\gamma_1/\gamma_J - 1)$ определяется энергетическим интервалом между основным состоянием и возбужденным синглетом $|\Gamma_4\rangle = (1/\sqrt{2})(|2\rangle - |-2\rangle)$ и равна 2 :

$$\alpha_1 = \frac{2A_J g_J \mu_B}{\gamma_J \hbar} \frac{\langle \Gamma_3 | J_z | \Gamma_4 \rangle^2}{E(\Gamma_4) - E(\Gamma_3)} \quad (6)$$

$(A_J/h \approx +1093 \text{ МГц} ^3$ – константа сверхтонкого взаимодействия свободного иона Pr^{3+} , $g_J = 0,8054 ^3$ – фактор Ланде) . мы можем дать оценку этого энергетического интервала:

$$E(\Gamma_4) - E(\Gamma_3) = (815 \pm 90) \text{ см}^{-1}. \quad (7)$$

К настоящему времени для описания штарковских расщеплений уровней энергии ионов Nd^{3+} и Pr^{3+} в кристаллических полях соединений со структурой Nd_2CuO_4 разными авторами предложены четыре набора параметров КЭП $^1, ^6-^8$. Один из них 8 удовлетворяет условию (7): $E(\Gamma_4) - E(\Gamma_3) = 776 \text{ см}^{-1}$, но дает завышенное ($6,06 \text{ МГц/кЭ}$) значение $\gamma_1/2\pi$. Близкие к нашим параметры спинового гамильтониана получаются из расчетов на основе потенциала КЭП, предложенного в работе 1 ($\gamma_1/2\pi = 1,54 \text{ МГц/кЭ}$, $\gamma_J/2\pi = 5,52 \text{ МГц/кЭ}$), однако энергия синглета Γ_4 оказывается чересчур большой (1186 см^{-1}).

Параметры спин-спиновой и спин-решеточной релаксации ядер
празеодима в частично ориентированном порошке $\text{Pr}_{1,85}\text{Ce}_{0,15}\text{CuO}_{4-y}$,
измеренные на частоте 23 МГц при температуре 1,6 К

| H (кЭ) | 4,5 | 6,0 | 6,5 | 7,5 | 9,0 | 10,4 | 11,6 | 13,3 | 15,8 |
|--------------|--------------------|--------------------|--------------------|--------------------|--------------------|--------------------|--------------------|--------------------|--------------------|
| α | 0 | 0,23 | 0,19 | 0,32 | 0,16 | 0,18 | — | 0,20 | 0,40 |
| | | $\pm 0,11$ | $\pm 0,03$ | $\pm 0,03$ | $\pm 0,03$ | $\pm 0,04$ | — | $\pm 0,04$ | $\pm 0,06$ |
| T_2' (мкс) | 11,6 $\pm 0,3$ | 9,3 $\pm 2,6$ | 12,8 $\pm 1,0$ | 12,4 $\pm 1,1$ | 12,3 $\pm 1,1$ | 11,2 $\pm 1,0$ | — | 13,6 $\pm 0,8$ | 10,6 $\pm 2,3$ |
| | | 23,6 $\pm 5,3$ | 33,8 $\pm 3,0$ | 31,4 $\pm 1,8$ | 33,2 $\pm 4,1$ | 31,9 $\pm 4,5$ | — | 37,0 $\pm 4,2$ | 31,3 $\pm 3,4$ |
| λ | 0,34 $\pm 0,03$ | 0,52 $\pm 0,02$ | — | 0,64 $\pm 0,03$ | — | 0,34 $\pm 0,02$ | 0,40 $\pm 0,03$ | 0,34 $\pm 0,02$ | 0,44 $\pm 0,04$ |
| | | 0,17 $\pm 0,02$ | 0,20 $\pm 0,02$ | — | 0,11 $\pm 0,02$ | — | 0,16 $\pm 0,01$ | 0,27 $\pm 0,03$ | 0,16 $\pm 0,01$ |
| T_1'' (мс) | 1,61 $\pm 0,10$ | 1,70 $\pm 0,06$ | — | 1,59 $\pm 0,03$ | — | 1,71 $\pm 0,08$ | 2,17 $\pm 0,18$ | 1,56 $\pm 0,07$ | 1,62 $\pm 0,13$ |

Предлагаемая в данной работе идентификация "линий" спектра ЯМР находит качественное подтверждение в исследованиях спин-решеточной релаксации ядер ^{141}Pr . Наблюдаемый на опыте процесс восстановления продольной ядерной намагниченности неплохо согласуется с

двухэкспоненциальной зависимостью вида:

$$1 - A(t)/A(\infty) = (1 - \lambda)\exp(-t/T_1') + \lambda\exp(-t/T_1''). \quad (8)$$

С другой стороны известно ⁹, что системе неэквидистантных уровней энергии спинов $I = 5/2$ присущи пять характеристических временных параметров: T_1 ; $T_1/3$; $T_1/6$; $T_1/10$ и $T_1/15$.

Из таблицы видно, что наибольший относительный вес (0,64) самого медленного процесса релаксации имеет место в поле 7,5 кЭ, как это и должно быть ⁹ в случае перехода $|5/2\rangle \leftrightarrow |3/2\rangle$, и намного меньший – в полях 4,5 кЭ, 13,3 кЭ (переход $|1/2\rangle \leftrightarrow |-1/2\rangle$) и 10,4 кЭ (переход $|3/2\rangle \leftrightarrow |1/2\rangle$).

В работе ⁵ было отмечено, что спин-решеточная релаксация ядер ^{63}Cu и ^{65}Cu в $\text{Pr}_{1,85}\text{Ce}_{0,15}\text{CuO}_4-y$ при $T = 1,5 - 4,2$ К определяется квадрупольным механизмом. Ядра ^{141}Pr также обладают квадрупольными моментами, однако о механизме их релаксации мы пока ничего сказать не можем, кроме того, что он обеспечивает в интервале температур от 1,5 до 4,2 К практически постоянную скорость релаксации $1/T_1 = 1/T_1'' \approx 600 \text{ с}^{-1}$.

Работа поддерживается научным Советом по проблеме ВТСП и выполняется в рамках проекта № 333 Государственной программы "Высокотемпературная сверхпроводимость".

Литература

1. Allenbach P. et al. Z. Phys. B, Condens. Matter, 1989, 77, 185.
2. Teplov M.A. In. Crystal Field Effects in Metals and Alloys. Ed. A. Furrer. Plenum Press, 1977, 318; Альтшуллер С.А., Теплов М.А. В кн.: Проблемы магнитного резонанса. М.: Наука, 1978, с. 14–30.
3. Bleaney B. et al. J. Phys. C, Sol. St. Phys., 1978, 11, 3059.
4. Аминов Л.К., Теплов М.А. УФН, 1985, 147, 49; Aminov L.K., Teplov M.A. Sov. Sci. Rev. Phys. A, 1990, 14, 1.
5. Бахарев О.Н. и др. Письма в ЖЭТФ, 1990, 51, 571.
6. Алексеев П.А. и др. СФХТ, 1989, 2, 44.
7. Boothroyd A.T. et al. Phys. C, 1990, 165, 17.
8. Nekvasil Y. Preprint 1990, submitted to Physica C.
9. Simmons W.W. et al. Phys. Rev., 1962, 127, 1168.

Поступила в редакцию

22 июня 1990 г

Казанский государственный университет